

## Brèves communications - Kurze Mitteilungen Brevi comunicazioni - Brief Reports

Les auteurs sont seuls responsables des opinions exprimées dans ces communications. — Für die kurzen Mitteilungen ist ausschliesslich der Autor verantwortlich. — Per le brevi comunicazioni è responsabile solo l'autore. — The editors do not hold themselves responsible for the opinions expressed by their correspondents.

### Ein (M,F)-Problem mit Nebenbedingungen

In einer früheren Arbeit<sup>1</sup> ist das vorliegende Problem recht unvollständig gelöst worden. Die daselbst geäuserte Vermutung, dass die einparametrische Schar der geraden Kreiskegel in der vollen Klasse der konvexen Rotationskörper<sup>2</sup> der festen Länge  $l > 0^3$  extremal sei, kann nun mindestens für die Teilklassen I (Äquatorradius am Rand) bestätigt werden.

Zum Beweis greifen wir auf einen Kegelstumpf-Kegel  $I_2$  zurück, für den  $a > 0$  und damit

$$\sin \alpha < \frac{\sin \beta (5 \sin \beta - 3)}{1 - 3 \sin \beta + 4 \sin^2 \beta} \quad (1)$$

gilt. Aus (1) folgt noch

$$\sin \beta > \frac{3}{5} \quad (2)$$

und ausserdem gilt

$$0 < \alpha < \beta < \pi/2 \quad (3)$$

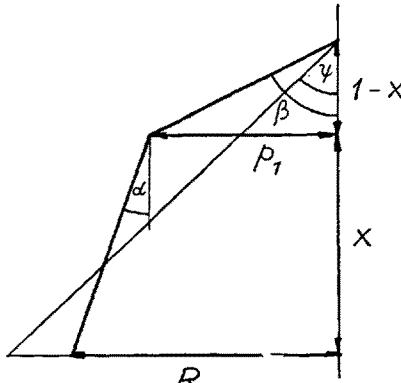


Abbildung 1.

Elementare Rechnungen ergeben:

$$F_1 = \pi [ax^2 - 2bx + c]; M_1 = \pi [-dx + e], \quad (4)$$

wobei ausdrücklich  $a > 0$  vorausgesetzt wird<sup>5</sup>. Die Massenzahlen eines Kegels aber sind von der Form

$$F_2 = C(\psi); M_2 = E(\psi). \quad (5)$$

In einer  $(M,F)$ -Ebene sind die Parabel (4) und die Kegelkurve (5) von unten konkav. Es kann deshalb im Gegensatz zum Falle  $a < 0$  nicht so einfach gefolgert werden, dass der Parabelbogen ganz nicht unterhalb der Kegelkurve liegt. Wir lassen nun (Abb. 1)  $x$  das Inter-

<sup>1</sup> H. BIERI, Exper. 9, 207 (1953).

<sup>2</sup> Bekanntlich ist die Teilklassen der  $n$ -gliedrigen Polygonalkörper von genügender Allgemeinheit, um Aussagen über die volle Klasse zu gewinnen.

<sup>3</sup> Bis auf die Schlussungleichung (17) werden wir  $l = 1$  setzen, was unwesentlich ist.

<sup>4</sup> Für  $\sin \beta \leq \frac{3}{5}$  fällt  $a$  für jedes  $\alpha$  aus dem Intervall  $\frac{3}{5} > \sin \alpha \geq 0$  negativ aus.

<sup>5</sup> Der Fall  $a \leq 0$  wurde in der erwähnten früheren Arbeit erledigt.

vall  $0 < x < 1$  durchlaufen und erzeugen so eine einparametrische Schar von Kegelstumpf-Kegeln, wobei Anfangs- und Endkörper Kegel sind. Hernach lassen wir  $\psi$  das Intervall  $\alpha < \psi < \beta$  durchlaufen und erzeugen so eine Kegelschar. Weiter stellen wir einem Kegelstumpf-Kegel einen Kegel mit gleichem  $M$  gegenüber. Gemäss (4) und (5) kann  $x$  bequem eliminiert werden, und man erhält die Funktion

$$\begin{aligned} d^2(F_1 - F_2) &= \Phi(\psi; \alpha, \beta) \\ &\equiv a(e-E)^2 - 2bd(e-E) + d^2(c-C) \end{aligned} \quad (6)$$

mit

$$\begin{aligned} a &= \frac{\sin \beta}{1 - \sin \beta} - 2 \operatorname{tg} \beta \cdot \frac{\cos \alpha}{1 - \sin \alpha} + \frac{\sin \alpha}{1 - \sin \alpha} \\ b &= \operatorname{tg} \beta \left( \frac{\cos \beta}{1 - \sin \beta} - \frac{\cos \alpha}{1 - \sin \alpha} \right); d = \operatorname{tg} \beta (\pi/2 + \beta) \\ &\quad - \operatorname{tg} \alpha (\pi/2 - \alpha) \\ c &= \frac{\sin \beta}{1 - \sin \beta}; \quad C = \frac{\sin \psi}{1 - \sin \psi}; \quad e = \operatorname{tg} \beta (\pi/2 + \beta); \\ &E = \operatorname{tg} \psi (\pi/2 + \psi). \end{aligned} \quad (7)$$

Man setzt noch abkürzend:

$$\Phi(\psi; \alpha, \beta) = a \cdot \Phi_1^2 - 2bd \cdot \Phi_1 + d^2 \cdot \Phi_2 \quad (8)$$

$$\Phi_1 = \operatorname{tg} \beta (\pi/2 + \beta) - \operatorname{tg} \psi (\pi/2 + \psi); \quad \Phi_2 = \frac{\sin \beta}{1 - \sin \beta} - \frac{\sin \psi}{1 - \sin \psi}.$$

$\Phi$  hat, wie es sein muss, die Nullstellen  $\psi = \alpha$  und  $\psi = \beta$ . Wir zeigen, dass  $\Phi$  im Intervall  $\alpha < \psi < \beta$  positiv ist. Zu diesem Zwecke betrachten wir die Minorante

$$\Phi = d[-2b \cdot \Phi_1 + d \cdot \Phi_2]. \quad (9)$$

Es ist:

$$\Phi(\beta; \alpha, \beta) = 0; \quad \Phi(\alpha; \alpha, \beta) < 0 \text{ für } \alpha < \beta$$

$$\Phi'(\beta; \alpha, \beta) = \Phi'(\beta; \alpha, \beta).$$

Gemäss (8) berechnet man:

$$\Phi(\psi; \alpha, \beta) = d \left[ 2b \{ \operatorname{tg} \varphi (\pi/2 + \varphi) \} - d \cdot \frac{\sin \varphi}{1 - \sin \varphi} \right] \psi$$

$$\Phi' = \frac{d}{\cos^2 \psi (1 - \sin \psi)} [2b (1 - \sin \psi) (\pi/2 + \psi + \sin \psi \cos \psi) \\ - d \cdot \cos \psi (1 + \sin \psi)] \quad (10)$$

Das Vorzeichen von  $\Phi(\beta; \alpha, \beta)$  hängt ab vom Ausdruck

$$\begin{aligned} \Psi(\alpha, \beta) &= 2 \sin \beta (\pi/2 + \beta + \sin \beta \cos \beta) \left[ \frac{\cos \beta}{1 - \sin \beta} - \frac{\cos \alpha}{1 - \sin \alpha} \right] \\ &\quad - (1 + \sin \beta)^2 [\operatorname{tg} \beta (\pi/2 + \beta) - \operatorname{tg} \alpha (\pi/2 + \alpha)]. \end{aligned} \quad (11)$$

Es gilt:

$$\Psi(\beta, \beta) = 0. \quad \Psi(0, \beta) = \sin \beta [(2 - \cos \beta)(2 \sin \beta - \pi/2 - \beta) - 2 \sin \beta (1 - \sin \beta)]^6 < 0. \quad (12)$$

Ferner ist<sup>7</sup>

$$\frac{\partial \Psi(\alpha, \beta)}{\partial \alpha} = (1 + \sin \beta)^2 \left[ \frac{[\pi/2 + \alpha + \sin \alpha \cos \alpha]}{\cos^2 \alpha} \right] - 2 \sin \beta \left( \frac{1}{1 - \sin \alpha} \right). \quad (13)$$

Das Vorzeichen der rechten Seite von (13) hängt ab von

$$\Psi_1(\alpha, \beta) = (1 + \sin \beta)^2 (\pi/2 + \alpha + \sin \alpha \cos \alpha) - 2 \sin \beta (1 + \sin \alpha). \quad (14)$$

Wegen  $\Psi_1(0, \beta) = (1 + \sin \beta)^2 \pi/2 - 2 \sin \beta > 0$ ;

$$\Psi_1(\beta, \beta)^8 > 0 \text{ und } \frac{\partial \Psi_1}{\partial \alpha} = 2 \cos \alpha [1 + \sin \beta]^2 \cos \alpha - \sin \beta^9$$

kann geschlossen werden, dass  $\Psi(\alpha, \beta)$  und somit auch  $\Phi'(\beta; \alpha, \beta)$  negativ sind. Es gibt also in einer linksseitigen Umgebung von  $\psi = \beta$  eine positive Minorante. Dieselbe besitzt für  $\psi = \psi_1$  eine erste Nullstelle. Die Funktion  $\Phi + a \cdot \Phi_1(\psi_1)$  ist daselbst positiv. Berücksichtigt man jetzt noch, dass die Funktion  $a \cdot \Phi_1(\psi)$  mit fallendem  $\psi$  monoton wächst, so sieht man ein, dass im Intervall  $\beta \geq \psi > \alpha$  eine unendliche Folge von nichtnegativen Minoranten konstruiert werden kann.

Dieser Umstand zusammen mit  $\Phi(\alpha; \alpha, \beta) = 0$  verbürgt im Intervall  $\alpha < \psi < \beta$  die Aussage  $\Phi > 0$ . Damit wissen wir aber, dass kein Kegelstumpfkegel  $I_2$  kleinste Oberfläche  $F$  besitzen kann.

Weiter betten wir einen Doppelkegelstumpf  $I_2$  in eine einparametrische Körperschar ein (Abb. 2), indem wir  $x$  von Null an wachsen lassen.

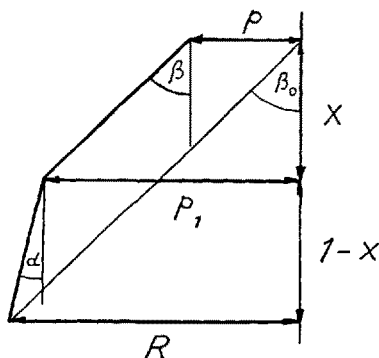


Abbildung 2.

Der Anfangskörper ist ein Kegelstumpf, der Endkörper wegen der getroffenen Wahl  $\beta > \beta_0$ <sup>10</sup> ein Kegelstumpfkegel. Wiederum hat  $F$  die Form (4) mit  $a \leq 0$ , wobei das Gleichheitszeichen nur für  $\alpha = \beta$  gilt. Der betrachtete Parabolbogen ist diesmal von unten konkav, und die Doppelkegelstumpfe können also unmöglich kleinstes  $F$  aufweisen.

Auch jeden Doppelkegelstumpf-Kegel kann man einbetten (Abb. 3). Die Stützebene durch  $A$  wird nach in-

nen verschoben. Je nach der Grösse von  $\varphi$  läuft sie schliesslich durch  $B$  oder  $S$ , so dass End- und Anfangskörper nur 2 Segmente aufweisen.

Man berechnet:

$$x = p \cdot \cot \beta \quad y = (p_1 - p) \cot \varphi \quad z = (R - p_1) \cot \alpha.$$

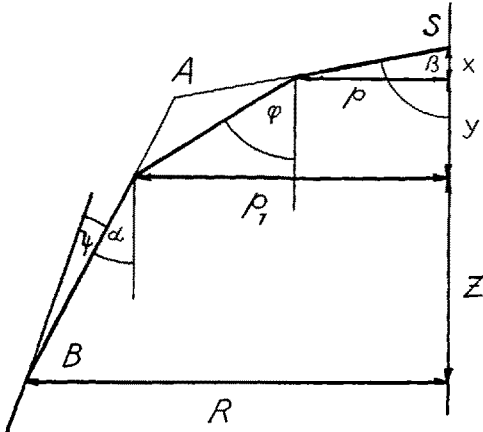


Abbildung 3.

Wegen  $x + y + z = 1$  ist  $p_1$  eine lineare Funktion von  $p$ , und man erhält weiter:

$$F = \pi [R^2(1 + \operatorname{cosec} \alpha) + ap^2] \quad \text{mit}$$

$$a = - [\cot \alpha - \cot \varphi]^2 (\operatorname{cosec} \varphi - \operatorname{cosec} \beta) + (\cot \varphi - \cot \beta)^2 (\operatorname{cosec} \alpha - \operatorname{cosec} \varphi) < 0$$

$$\text{für } \varphi \neq \alpha, \varphi \neq \beta, \alpha \neq \beta. \quad (15)$$

Der betrachtete Parabolbogen ist also von unten konkav, und die zugehörigen Körper besitzen nicht kleinstes  $F$ . Fügt man jetzt in  $B$  weitere Segmente an, die beim besprochenen Abschleifungsprozess unangetastet bleiben, so ändert sich auch  $a$  nicht. Ein Dreifachkegelstumpf endlich lässt sich so einbetten, dass die Endkörper der Schar entweder beide Doppelkegelstumpfe sind oder der eine ein Doppelkegelstumpf, der andere ein Doppelkegelstumpf-Kegel (vgl. Abb. 2). Wieder ist der erzeugte Parabolbogen von unten konkav, und die ganze Körperschar ist nicht extremal. An diesem Resultat wird auch durch Ansetzen weiterer Segmente nichts geändert. Damit ist der Beweis geleistet<sup>11</sup>.

Das gefundene Resultat lässt sich auch durch eine Ungleichung ausdrücken.

Für konvexe Rotationskörper  $I$  von der festen Länge 1 gilt (unter Benützung von (7)) die Ungleichung

$$M \leq \sqrt{\frac{\pi l \cdot F}{(\pi l^2 + F)^2 + F^2}} \left[ \frac{\pi}{2} + \arcsin \left( \frac{F}{\pi l^2 + F} \right)^{12} \right]. \quad (17)$$

Das Gleichheitszeichen wird nur von den geraden Kreiskegeln beansprucht.

H. BIERI

Bern, den 7. Juni 1956.

### Summary

In a former publication, the problem could only be solved under two restrictions. Proof is now given that the cones are extremal in the whole of class I.

<sup>11</sup> Selbstredend muss auch noch der Fall  $\alpha=0$  (Abb. 1) erledigt werden. Die diesbezüglichen Rechnungen sind elementar.

<sup>12</sup> Statt  $M$  hätte durchwegs  $M + \pi l$  geschrieben werden müssen, was zwecks Vereinfachung unterblieb.

<sup>6</sup> Elementare Diskussion zeigt, dass der Faktor  $2 \sin \beta - \beta - \pi/2$  im zulässigen Intervall für  $\beta$  negativ ist.

<sup>7</sup> Man betrachtet  $\alpha$  als Koordinate,  $\beta$  als Parameter.

<sup>8</sup> Schon die Minorante  $(1 + \sin \beta)^2 \pi/2 - 2 \sin \beta (1 + \sin \beta)$  wird leicht als positiv erkannt.

<sup>9</sup> Die Klammer ist für  $\alpha = 0$  positiv und besitzt im Intervall  $0 < \alpha < \beta$  höchstens 1 Nullstelle.

<sup>10</sup> Der Fall  $\beta \leq \beta_0$  wurde in der zitierten Arbeit erledigt.